

**Zeitschrift:** Mémoires de la Société Vaudoise des Sciences Naturelles  
**Herausgeber:** Société Vaudoise des Sciences Naturelles  
**Band:** 11 (1955-1956)  
**Heft:** 2

**Artikel:** Propriétés électriques et structure de lames minces d'argent  
**Autor:** Borel, Jean-Pierre  
**Kapitel:** [Photos]  
**DOI:** <https://doi.org/10.5169/seals-257486>

### **Nutzungsbedingungen**

Die ETH-Bibliothek ist die Anbieterin der digitalisierten Zeitschriften. Sie besitzt keine Urheberrechte an den Zeitschriften und ist nicht verantwortlich für deren Inhalte. Die Rechte liegen in der Regel bei den Herausgebern beziehungsweise den externen Rechteinhabern. [Siehe Rechtliche Hinweise.](#)

### **Conditions d'utilisation**

L'ETH Library est le fournisseur des revues numérisées. Elle ne détient aucun droit d'auteur sur les revues et n'est pas responsable de leur contenu. En règle générale, les droits sont détenus par les éditeurs ou les détenteurs de droits externes. [Voir Informations légales.](#)

### **Terms of use**

The ETH Library is the provider of the digitised journals. It does not own any copyrights to the journals and is not responsible for their content. The rights usually lie with the publishers or the external rights holders. [See Legal notice.](#)

**Download PDF:** 15.03.2025

**ETH-Bibliothek Zürich, E-Periodica, <https://www.e-periodica.ch>**

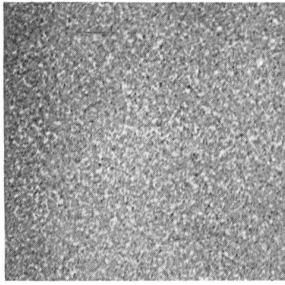


PHOTO E 1.

Lame de  $0,8 \text{ m}\mu$  déposée à  $0,7 \text{ m}\mu/\text{min}$ .  
sur un support à  $27^\circ \text{C}$   
Observation microscopique à  $9 \text{ W}/\text{cm}^2$ .

$1 \mu$

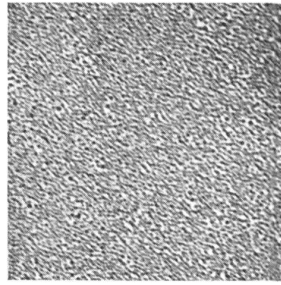


PHOTO E 2.

Lame de  $2,6 \text{ m}\mu$  déposée à  $6 \text{ m}\mu/\text{min}$ .  
sur un support à  $27^\circ \text{C}$   
Observation microscopique à  $9 \text{ W}/\text{cm}^2$ .

$1 \mu$

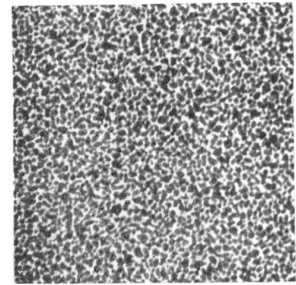
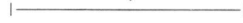


PHOTO E 3.

Lame de  $7 \text{ m}\mu$  déposée à  $0,5 \text{ m}\mu/\text{min}$ .  
sur un support à  $20^\circ \text{C}$   
Observation microscopique à  $9 \text{ W}/\text{cm}^2$ .

$1 \mu$

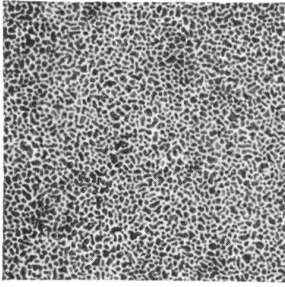
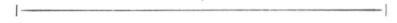


PHOTO E 4.

Lame de  $8,7 \text{ m}\mu$  déposée à  $0,5 \text{ m}\mu/\text{min}$ .  
sur un support à  $25^\circ \text{C}$   
Observation microscopique à  $9 \text{ W}/\text{cm}^2$ .

$1 \mu$

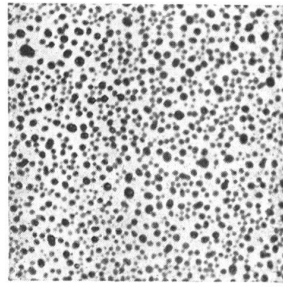
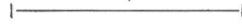


PHOTO E 5.

Même lame que E 4, mais observée  
avec une puissance de  $500\text{-}600 \text{ W}/\text{cm}^2$ .

$1 \mu$

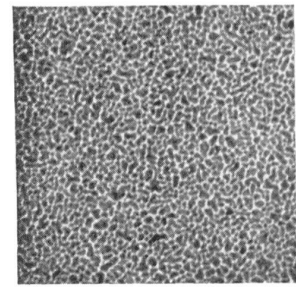
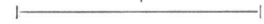


PHOTO E 6.

Lame de  $12 \text{ m}\mu$  déposée à  $0,5 \text{ m}\mu/\text{min}$ .  
sur un support à  $25^\circ \text{C}$   
Observation microscopique à  $9 \text{ W}/\text{cm}^2$ .

$1 \mu$





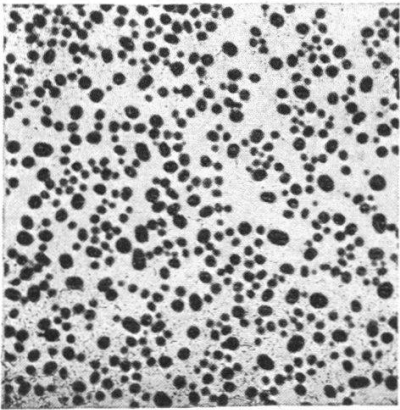


PHOTO E.7.

Même lame que E.6, mais observée avec une puissance de 500-600 W/cm<sup>2</sup>.

1 μ

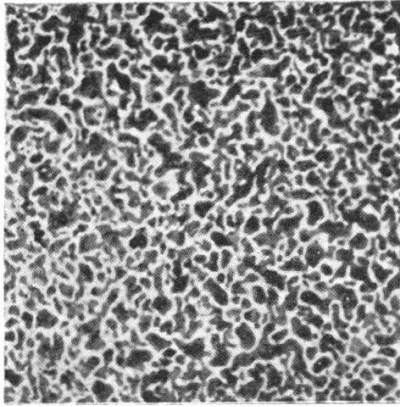


PHOTO E.8.

Lame de 12 mμ déposée à 0,5 mμ/min. sur un support à 26° C  
Observation microscopique à 9 W/cm<sup>2</sup>.

1 μ

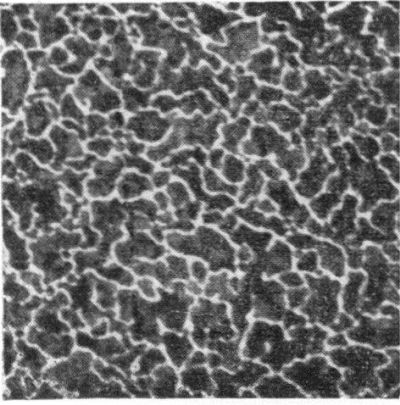


PHOTO E.9.

Lame de 14 mμ déposée à 7 mμ/min. sur un support à 25° C  
Observation microscopique à 9 W/cm<sup>2</sup>.

1 μ

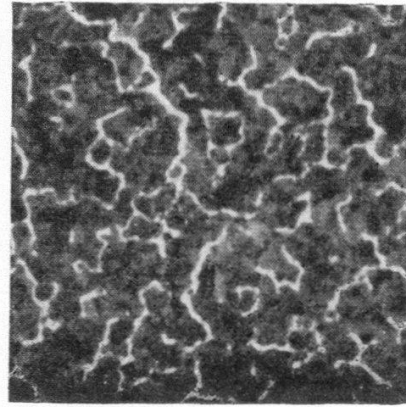


PHOTO E.10.

Lame de 18 mμ déposée à 5 mμ/min. sur un support à 19° C  
Observation microscopique à 9 W/cm<sup>2</sup>.

1 μ

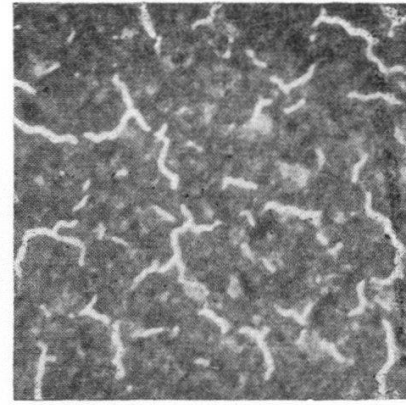


PHOTO E.11.

Lame de 21 mμ déposée à 40 mμ/min. sur un support à 19° C  
Observation microscopique à 9 W/cm<sup>2</sup>.

1 μ

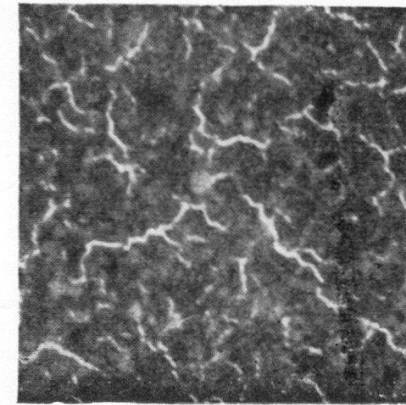


PHOTO E.12.

Lame identique à E.11, mais déposée à 8 mμ/min.  
Observation microscopique à 9 W/cm<sup>2</sup>.

1 μ



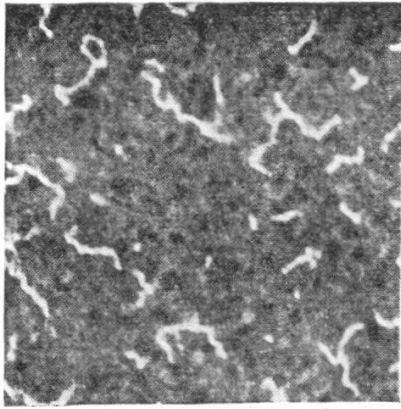


PHOTO E 13.

Lame identique à E 11 et E 12, mais déposée à 2 m $\mu$ /min. (support à 22° C)

1  $\mu$

### EVAPORATIONS RAPIDES

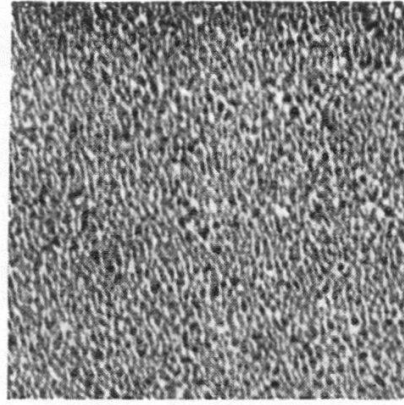


PHOTO E 16.

Lame de 4,7 m $\mu$  déposée à 12 m $\mu$ /min. sur un support à 25° C

Observation microscopique à 9 W/cm<sup>2</sup>.

1  $\mu$

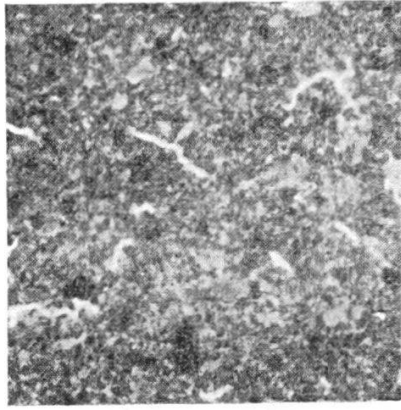


PHOTO E 14.

Lame de 25 m $\mu$  déposée à 3 m $\mu$ /min. sur un support à 22° C

Observation microscopique à 9 W/cm<sup>2</sup>.

1  $\mu$

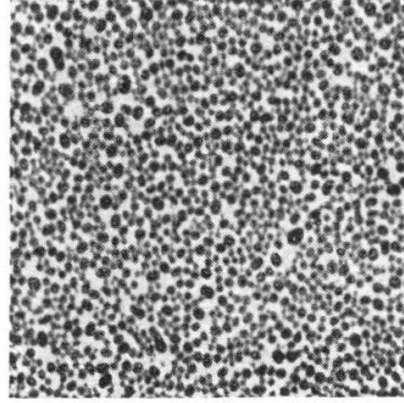


PHOTO E 17.

Même lame que E 16, mais observée avec une puissance de 500-600 W/cm<sup>2</sup>.

1  $\mu$

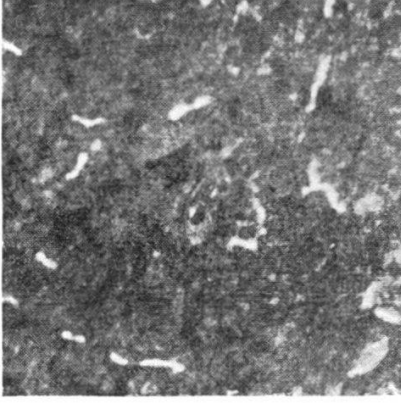


PHOTO E 15.

Lame de 34 m $\mu$  déposée à 4 m $\mu$ /min. sur un support à 19° C

Observation microscopique à 9 W/cm<sup>2</sup>.

1  $\mu$

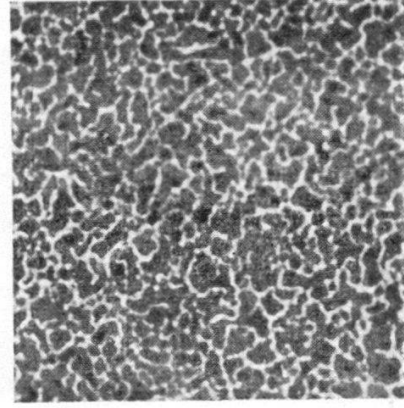


PHOTO E 18.

Lame de 7 m $\mu$  déposée à 200 m $\mu$ /min. sur un support à 20° C

Observation microscopique à 9 W/cm<sup>2</sup>.

1  $\mu$



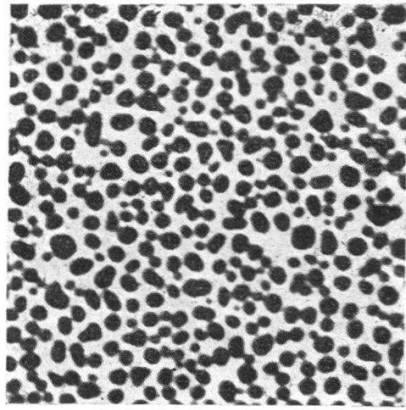


PHOTO E 19.

Même lame que E 18, mais chauffée à 100° C pendant 5.00 h.  
Observation microscopique à 9 W/cm<sup>2</sup>.

1 μ

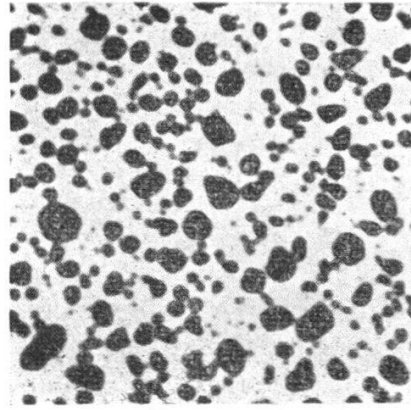


PHOTO E 20.

Même lame que E 18, mais observée avec une puissance de 500-600 W/cm<sup>2</sup>.

1 μ

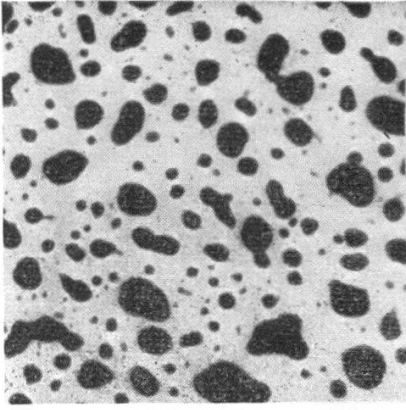


PHOTO E 21.

Même lame que E 18, mais chauffée à 160° C pendant 5.00 h.  
Observation microscopique à 9 W/cm<sup>2</sup>.

1 μ

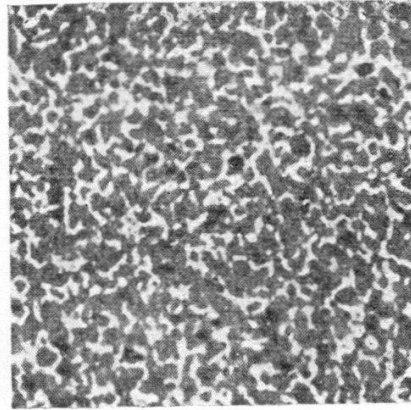


PHOTO E 22.

Lame de 8,8 mμ déposée à 20 mμ/min. sur un support à 20° C  
Observation microscopique à 9 W/cm<sup>2</sup>.

1 μ

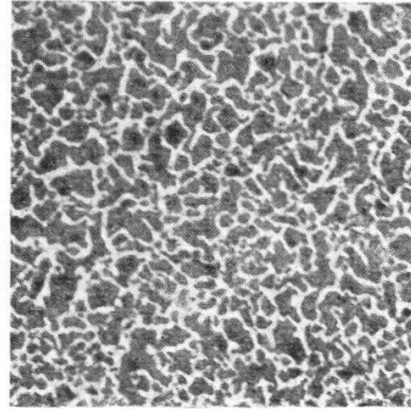


PHOTO E 23.

Même lame que E 22, mais chauffée à 60° C pendant 5.00 h.  
Observation microscopique à 9 W/cm<sup>2</sup>.

1 μ

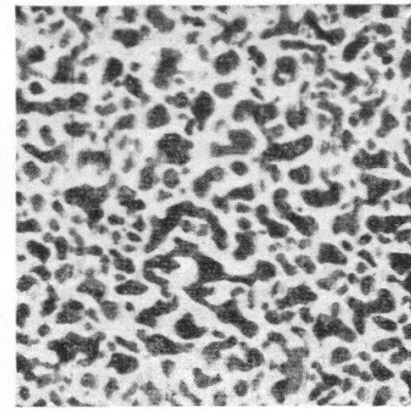
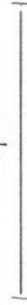


PHOTO E 24.

Même lame que E 22, mais chauffée à 110° C pendant 5.00 h.  
Observation microscopique à 9 W/cm<sup>2</sup>.

1 μ







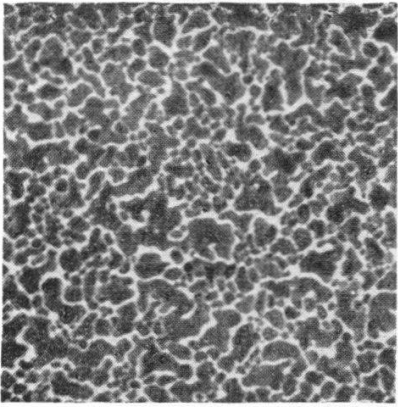


PHOTO E 25.

Même lame que E 22, mais observée avec une densité de puissance un peu supérieure à  $9 \text{ W/cm}^2$ .

1  $\mu$

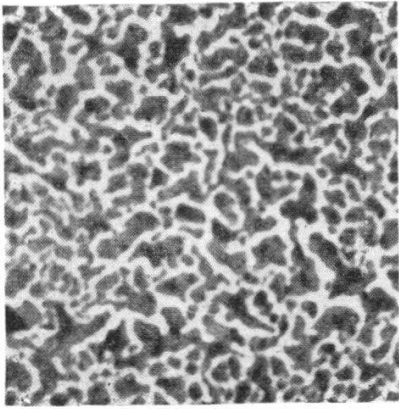


PHOTO E 26.

Même lame que E 22, mais observée avec une puissance de  $500\text{-}600 \text{ W/cm}^2$ .

1  $\mu$

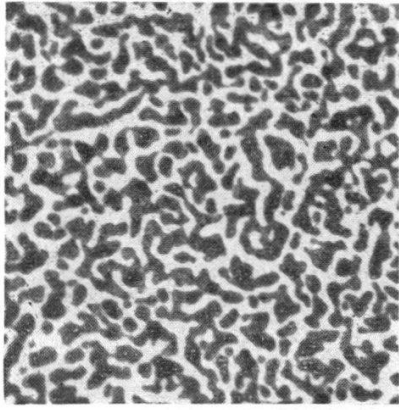


PHOTO E 27.

Lame de  $7 \text{ m}\mu$  déposée à  $15 \text{ m}\mu/\text{min}$ . sur un support à  $\infty 100^\circ \text{C}$

1  $\mu$

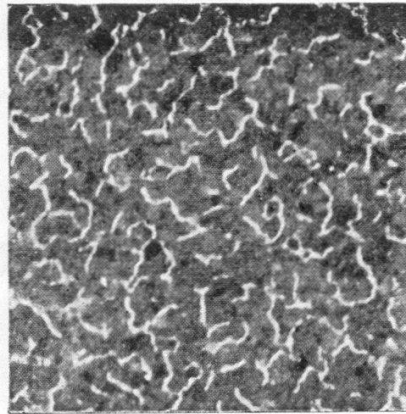


PHOTO E 28.

Lame de  $10,5 \text{ m}\mu$  déposée à  $20 \text{ m}\mu/\text{min}$ . sur un support à  $25^\circ \text{C}$   
Observation microscopique à  $9 \text{ W/cm}^2$ .

1  $\mu$

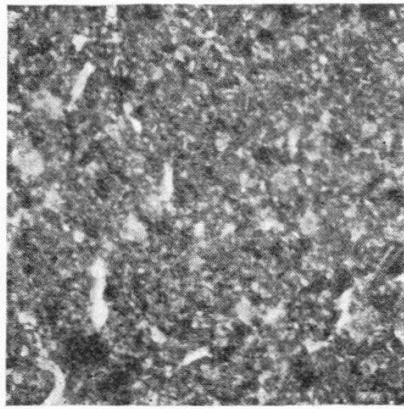


PHOTO E 29.

Lame de  $22 \text{ m}\mu$  déposée à  $220 \text{ m}\mu/\text{min}$ . sur un support à  $19^\circ \text{C}$   
Observation microscopique à  $9 \text{ W/cm}^2$ .

1  $\mu$

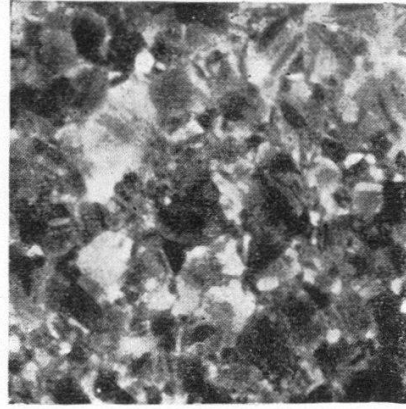


PHOTO E 30.

Même lame que E 29, mais observée avec une puissance de  $500\text{-}600 \text{ W/cm}^2$ .

1  $\mu$



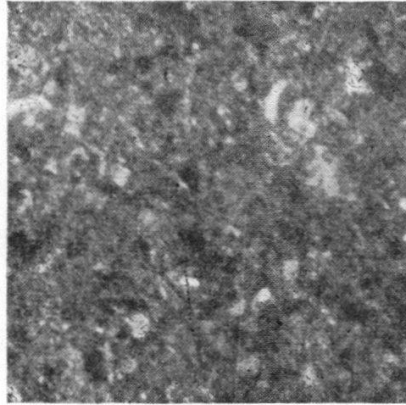
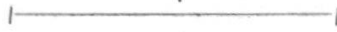


PHOTO E 31.

Lame de  $25 \mu$  déposée à  $50 \mu/\text{min}$ .  
sur un support à  $22^\circ \text{C}$   
Observation microscopique à  $9 \text{ W}/\text{cm}^2$ .

$1 \mu$



EVAPORATIONS LENTES

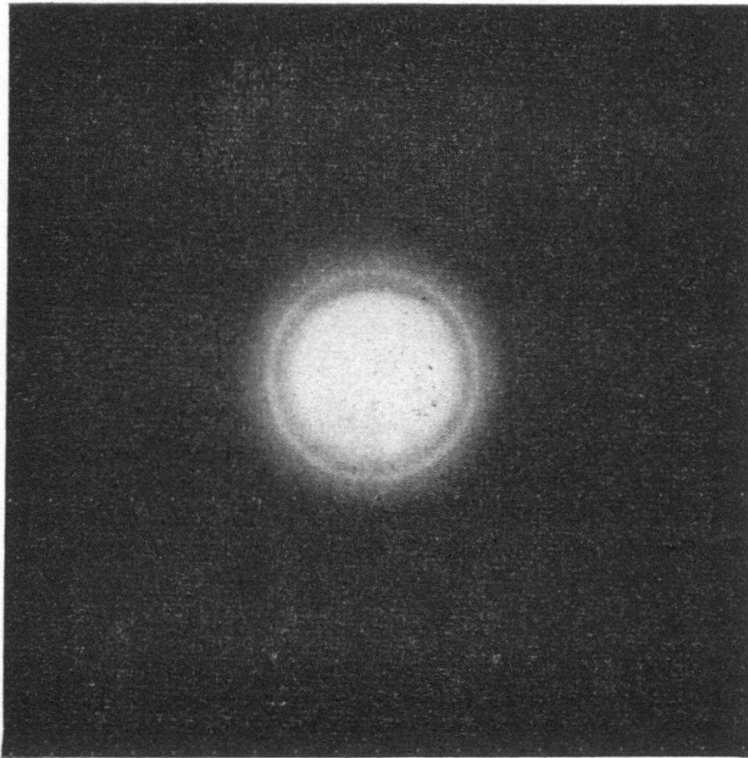


PHOTO D 1. —  $e_0 = 1,5 \mu$ .



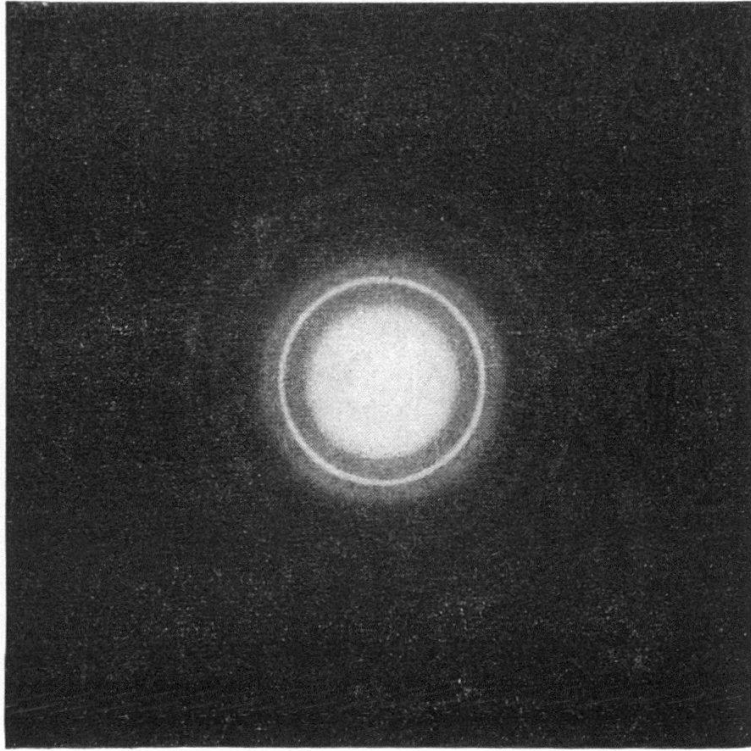


PHOTO D 2. —  $e_0 = 5 \text{ m}\mu$ .

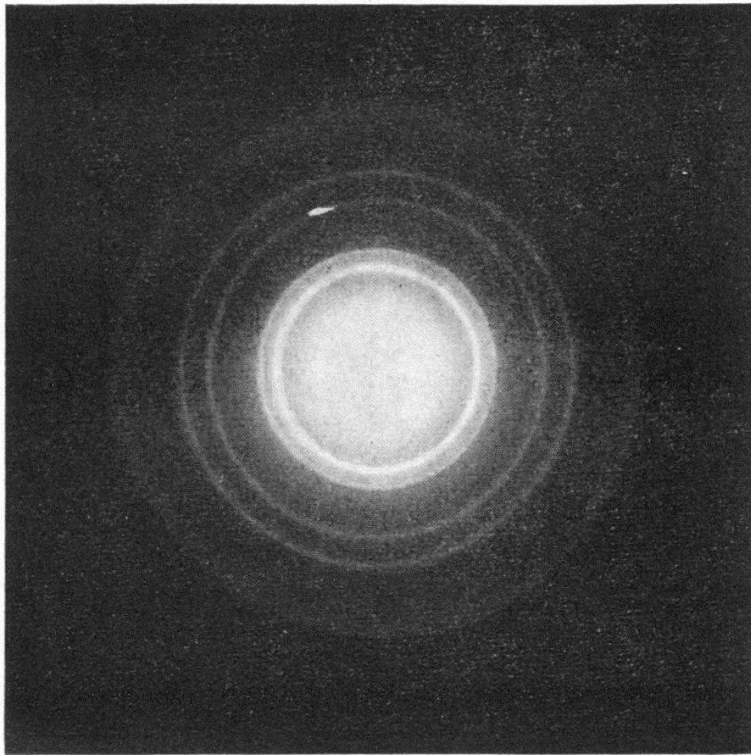


PHOTO D 3. —  $e_0 = 7,8 \text{ m}\mu$ .



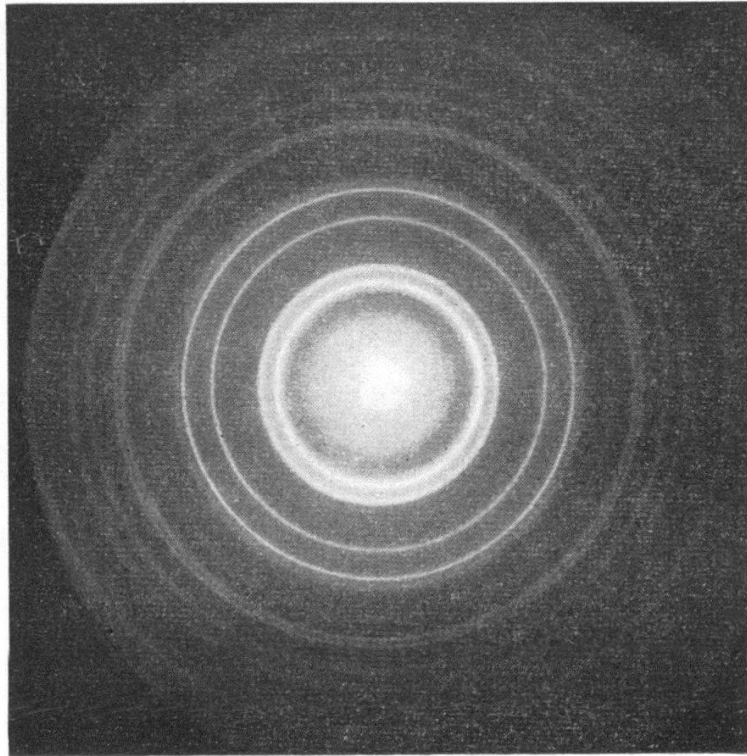


PHOTO D 4. —  $e_0 = 23 \text{ m}\mu$ .

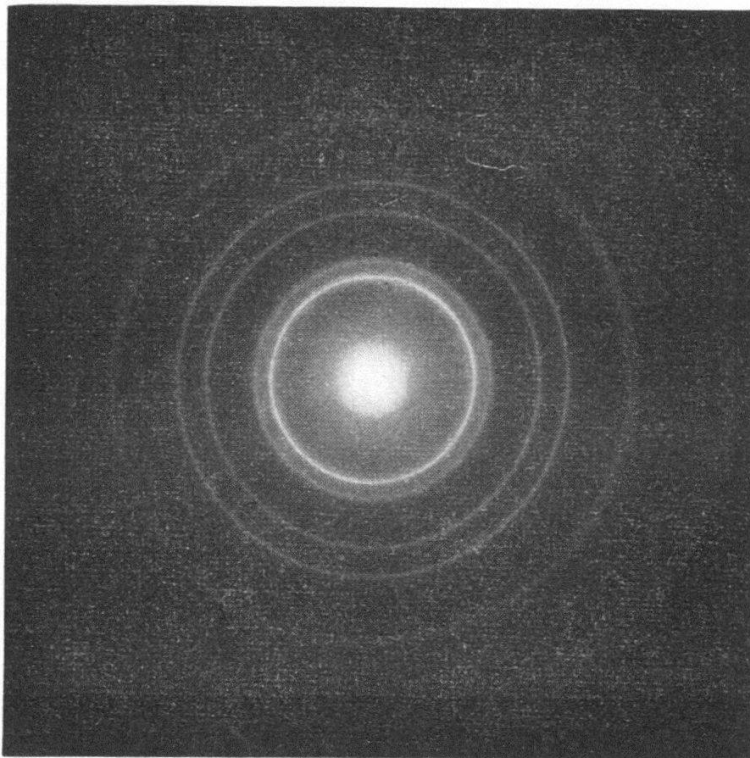


PHOTO D 5. —  $e_0 = 35 \text{ m}\mu$ .



